

北海道開発局 正員 桑島 隆一
 北海道大学工学部 正員 佐伯 昇
 北海道大学工学部 正員 藤田 嘉夫

1. まえがき

ねじり荷重を受ける鉄筋コンクリート部材を設計する場合、終局時においてねじり荷重作用を無視できる場合と、力の釣合上無視できない場合がある。前者はひびわれ発生によって、ねじり剛性が小さくなるとともに、塑性変形能力が大きいことが保証されなければならない。後者は鉄筋補強による変形剛性、耐力の確保が問題となる。また、使用限界状態時の変形を評価するためには、ねじり剛性の算定法が問題となる。本研究では、鉄筋コンクリート部材の変形および耐力の実験を、大変形まで測定可能な実験装置を用いて行い、コンクリートの断面形状、鉄筋比による変形等動を評価し、ねじり荷重が作用するコンクリート部材を設計する場合の基礎的資料を求めたものである。

2. 材料および実験方法

(1) 材料 セメントは早強ポルトランドセメントを用い、細骨材は鶴川産の川砂（比重2.64、吸水率2.68%）、粗骨材は静内川産の川砂利（比重2.77、吸水率1.27%）を用いた。配合は水セメント比46%，細骨材率43%にし、目標スランプ8cm、空気量5%のAEコンクリートとした。材令は2週間とし、目標圧縮強度を300kg/cm²とした。鉄筋は、異形棒鋼SD35の直径6, 10および13mmのものを用いた。

(2) 実験方法 供試体は、図-1(a)に示すように 20×20×210cm の中実および中空断面、12×20×210cm の矩形断面とし、桁の測定区間は120cmとした。また鉄筋比の大きいものは図-1(b)に示す 15×15×210cm の桁とし、測定区間は90cmとした。スターラップ間隔は軸方向鉄筋比(P_e)と横方向鉄筋比(P_v)の比が1.0になるように配筋した。また一部はこのバランスを崩したものも実験した。実験装置は図-2に示すように、左端を固定し、右端にはユニバーサルジョイントを用いて角度に対する拘束を除き、またエキスパンションジョイントを用いて軸方向の拘束を除いた。大変形の角度を測定するため電気抵抗を利用した角測定装置を開発して、1m当たり10°程度までのねじり角の測定を行った。さらに鉄筋およびコンクリートのひずみの測定を行った。

3. 実験結果および考察

鉄筋コンクリート桁にねじり荷重が作用すると写真-1に示すように、らせん状にひびわれが生ずる。この状態をモデル化して、コンクリートは圧縮斜材として、圧縮力のみ分担し、軸および横方向鉄筋は引張応力のみ受けもつと仮定する。この場合コンクリートは全断面が有効に働くのではなく、断面の中心に向う程応力の分担は少なくなる。このためコンクリートが有効に働く仮想の有効厚さ(h_w)を仮定する。これが立體トラス理論である。

(1) 最小鉄筋量 ひびわれ発生荷重時において鉄筋が降伏すると脆性的破壊をすることになる。この鉄筋量をトラス理論で導くと、

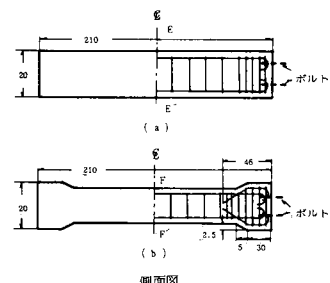
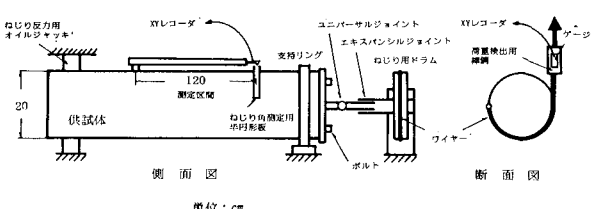


図-1 供試体の寸法・配筋



単位: cm

図-2 実験装置

$$\bar{A}_e = \frac{T_{cr}(b_0 + h_0)}{4b_0h_0f_y} \quad \dots \dots (1) \quad A_{v'} = \frac{T_{cr} \cdot S}{2b_0h_0f_y} \quad \dots \dots (2)$$

ここで \bar{A}_e , $A_{v'}$ は軸および横方向鉄筋の最小量, b_0 , h_0 軸方向鉄筋中心を結ぶ幅および高さ, f_y , f_y' は軸および横方向鉄筋の降伏応力度, T_{cr} はひびわれ発生モーメント, 図-3に鉄筋比による T-θ 曲線を示しているが, $P_t = 0$, 6.2% の場合が最小鉄筋量に相当している。

(2) 立体トラス理論による仮想厚さ コンクリートおよび鉄筋のひずみの結果から仮想の有効厚を算定すると, h_w/b (b は短辺の幅) は軸方向鉄筋ひずみから 0.33, 横方向鉄筋ひずみから 0.28, コンクリート応力から 0.14 がえられた。さらにこれらを結果をひびわれ角度を消去するなど検討した結果、図-4のような結果が与えられた。 h_w/b は約 $\frac{1}{6}$ になる。以後これを用いる事にする。

(3) ひびわれ発生後のねじり剛性 図-5に示すようにねじり剛性は全鉄筋比 (P_t) に比例して増加する、実験式を求める

$$G_{cr}J_{cr} = 1.9 G J P_t \quad \dots \dots (3)$$

ここで $G J$ は弾性理論により求めたねじり剛性, 全鉄筋比は

$$P_t = P_e + P_v = \left(\frac{\bar{A}_e}{S_h} + \frac{A_{v'}}{S_h} \cdot \frac{U}{S} \right) \times 100$$

ここで P_e , P_v は軸および横方向鉄筋比, \bar{A}_e , $A_{v'}$ は全軸方向鉄筋および横方向鉄筋断面積, S はスターラップ間隔, U はスターラップの中心線の周長, h , b は長辺および短辺の長さである。 Karlsson と同様に解析したねじり剛性の算定式を用いると図-6のような実験との相関性が与られ、ほぼ対応していることがわかる。

(4) ねじり荷重を受ける桁の韧性 ねじり率 10 deg./m を基準 (θ_0') にして、T-θ 曲線から面積を求め θ_0' で除して、平均ねじりモーメント $\bar{T}_{u'}$ を求めた。 T_{cr} に対する $\bar{T}_{u'}$ をねじりに対する韧性係数 β_{cr} と置くと、 β_{cr} は図-7のようになる。 P_t が 2.5% 以上から β_{cr} は 1 より大きくなり、大きな韧性を示す。

4. まとめ 立体トラス理論によって解析した結果、桁の有効の仮想厚さは短辺の軸方向鉄筋幅の約 $\frac{1}{6}$ であること、ひびわれ後のねじり剛性がよい対応を示すこと、最小鉄筋量の算定が可能など、またひびわれ後のねじり剛性は全鉄筋比に比例することなどがわかつた。



写真-1 ひびわれ発生後の状況

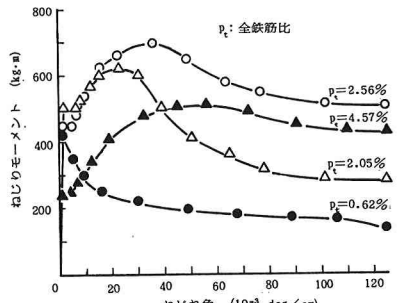


図-3 ねじりモーメント-ねじれ角 曲線

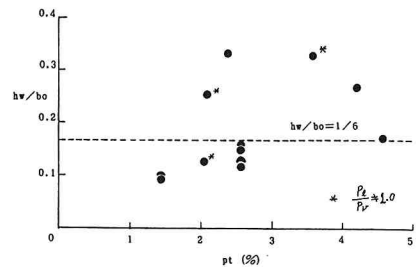


図-4 仮想厚さ

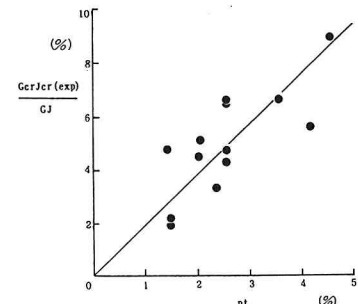


図-5 ひびわれ発生後のねじり剛性

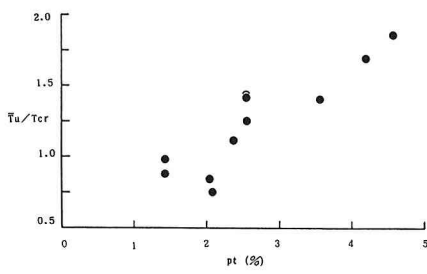


図-7 ねじり荷重を受けるRC桁の韧性

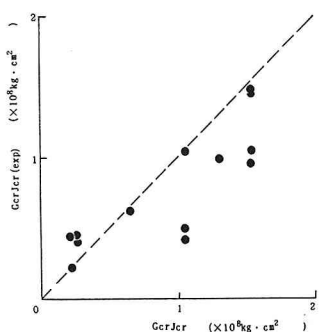


図-6 ひびわれ発生後のねじり剛性の算定